



Gorgan University of Agricultural
Sciences and Natural Resources

Food Processing and Preservation Journal

Print ISSN: 2423-3544
Online ISSN: 2423-3803



Iranian Association of Food Scientists
and Technologists

Effect of Organic Acids on the Viscosity and Rheological Properties of Basil Seed Mucilage

Fakhreddin Salehi^{1*}, Kimia Samary², Maryam Tashakori²

¹Associate Professor, Department of Food Science and Technology, Faculty of Food Industry, Bu-Ali Sina University, Hamedan, Iran, Email: F.Salehi@Basu.ac.ir

²MSc Student, Department of Food Science and Technology, Faculty of Food Industry, Bu-Ali Sina University, Hamedan, Iran.

Article Info

Article type:
Research Full Paper

Article history:

Received: 2024-02-02

Revised: 2024-05-06

Accepted: 2024-05-21

Keywords:
Ascorbic acid
Citric acid
Malic acid
Plastic viscosity
Tartaric acid

ABSTRACT

Background and objectives: Organic acids in foods are exist naturally or added for specific purposes such as reducing pH, chelating metals, increasing antioxidant activity, reducing microorganism activity, and extending shelf life, or they are produced by microorganisms. Mucilages are used as thickening agents, gelling agents, and stabilizers to increase the viscosity and improving the textural and rheological properties of food products. The aim of this research was to investigate the effect of the addition of different organic acids on the viscosity changes of aqueous solution containing basil seed mucilage.

Materials and methods: In this study the effect of four edible organic acids include ascorbic acid, citric acid, malic acid, and tartaric acid, at two concentrations of 0.5, and 1 % (w/v), on the viscosity and rheological behavior of Basil seed mucilage solution was investigated. The Basil seed mucilage solutions were provided by solving the mucilage powder (0.2%, w/v) in distilled water and different concentrations of organic acids using a magnetic stirrer. The rheological parameters of Basil seed mucilage solutions were measured using a viscometer (Brookfield, USA) at 20°C. The shear rate/shear stress data were also fitted using Power law, Bingham, Herschel-Bulkley, and Casson models.

Results: The finding of this study showed that the apparent viscosity of Basil seed mucilage solution reduced when the shear rate increased. Additionally, the apparent viscosity of the Basil seed mucilage solution reduced as the organic acids concentration increased. The highest decrease in viscosity was related to solution containing 1% malic acid and the lowest was related to ascorbic acid with a concentration of 0.5%. The Power law model was the best one for describing the behavior of Basil seed mucilage solutions containing organic acids. The Power law model had a good performance with the highest correlation coefficient (>0.9082) and least sum of squared error (<0.4782) and root mean square error (<0.1996) for all samples. The consistency coefficient of the mucilage solution reduced as the acid concentration was increased. The samples containing 1% malic acid had the lowest consistency

coefficient and the samples containing 0.5% citric acid had the highest consistency coefficient. By adding acid to the mucilage solution and reducing its pH, the amount of yield stress of the Bingham and Casson models was decreased. The Casson plastic viscosity value for the control solution prepared from Basil seed mucilage was equal to 0.058 Pa.s. The sample containing 0.5% ascorbic acid had the highest (0.050 Pa.s) and the sample containing 1% tartaric acid had the lowest (0.032 Pa.s) plastic viscosity value.

Conclusion: By adding acid to the mucilage solution and as a result reducing the pH, the flow behavior index of the samples (Power law and Herschel-Bakli models) increased (reduction in pseudoplastic behavior). Based on the findings of this research, the use of Basil seed mucilage in food products containing high concentration of malic acid is not recommended, and this acid causes a great reduction in the viscosity and consistency of products containing this mucilage.

Cite this article: Salehi, F., Samary, K., Tashakori, M. 2024. Effect of Organic Acids on the Viscosity and Rheological Properties of Basil Seed Mucilage. *Food Processing and Preservation Journal*, 16(1), 17-32.



© The Author(s).

DOI: 10.22069/fppj.2024.22164.1799

Publisher: Gorgan University of Agricultural Sciences and Natural Resources



دانشکده تخصصی علوم و صنایع غذایی ایران

فرآوری و نگهداری مواد غذایی

شایا چاپی: ۲۴۲۳-۳۵۴۴
شایا الکترونیکی: ۲۴۲۳-۳۸۰۳



دانشکده تخصصی علوم و صنایع غذایی کلان

اثر اسیدهای آلی بر ویسکوزیته و خصوصیات رئولوژیکی موسیلاز دانه ریحان

فخر الدین صالحی^{*}، کیمیا ثمری^{**}، مریم تشکری^{***}

^{*}دانشیار، گروه علوم و صنایع غذایی، دانشکده صنایع غذایی، دانشگاه بوعالی سینا، همدان، ایران، رایانه‌ام: F.Salehi@Basu.ac.ir

^{**}دانشجوی کارشناسی ارشد، گروه علوم و صنایع غذایی، دانشکده صنایع غذایی، دانشگاه بوعالی سینا، همدان، ایران.

اطلاعات مقاله	چکیده	نوع مقاله:	مقاله کامل علمی-پژوهشی
	<p>سابقه و هدف: اسیدهای آلی در غذاها یا به صورت طبیعی وجود دارند یا برای اهداف خاصی مانند کاهش pH، شلاته کردن فلزات، افزایش فعالیت آنتی‌اکسیدانی، کاهش فعالیت میکروارگانیسم و افزایش زمان نگهداری اضافه می‌شوند و یا اینکه توسط میکروارگانیسم‌ها تولید می‌شوند. موسیلازها به عنوان عوامل غایظ کننده، عوامل ژل کننده و پایدارکننده برای افزایش ویسکوزیته و بهبود خواص بافتی و رئولوژیکی محصولات غذایی استفاده می‌شوند. هدف این پژوهش بررسی اثر افزودن اسیدهای آلی مختلف بر تغییر ویسکوزیته محلول آبی حاوی موسیلاز دانه ریحان بود.</p>	<p>تاریخ دریافت: ۱۴۰۲/۱۱/۱۳ تاریخ ویرایش: ۱۴۰۳/۰۲/۱۷ تاریخ پذیرش: ۱۴۰۳/۰۳/۰۱</p>	

مواد و روش‌ها: در این مطالعه اثر چهار اسید آلی خوراکی شامل اسید آسکوربیک، اسید سیتریک، اسید مالیک و اسید تارتاریک، در دو غلظت ۰/۵ و ۱ درصد (وزنی/حجمی) بر ویسکوزیته و رفتار رئولوژیکی محلول موسیلاز دانه ریحان بررسی و مدل‌سازی شد. محلول‌های موسیلاز دانه ریحان با حل کردن پودر موسیلاز (۰/۲ درصد، وزنی/حجمی) در آب مقطر و غلظت‌های مختلف اسیدهای آلی با استفاده از همزن مغناطیسی تهیه شدند. پارامترهای رئولوژیکی محلول‌های موسیلاز دانه ریحان با استفاده از ویسکومتر (بروکفیلد، آمریکا) در دمای ۲۰ درجه سلسیوس اندازه گیری شد. داده‌های سرعت برشی/تنش برشی نیز با استفاده از مدل‌های قانون توان، بینگهام، هرشل بالکلی و کاسون برآش شدند.

واژه‌های کلیدی:

اسید آسکوربیک

اسید تارتاریک

اسید سیتریک

اسید مالیک

ویسکوزیته پلاستیک

یافته‌ها: یافته‌های این مطالعه نشان داد که ویسکوزیته ظاهری محلول موسیلاز دانه ریحان با افزایش سرعت برشی کاهش یافت. علاوه بر این، ویسکوزیته ظاهری محلول موسیلاز دانه ریحان با افزایش غلظت اسیدهای آلی کاهش یافت. بیشترین کاهش ویسکوزیته مربوط به محلول حاوی ۱ درصد اسید مالیک و کمترین آن مربوط به اسید آسکوربیک با غلظت ۰/۵ درصد بود. مدل قانون توان بهترین مدل برای توصیف رفتار محلول‌های موسیلاز دانه ریحان حاوی اسیدهای آلی بود. مدل قانون توان با بیشترین مقدار ضریب تبیین ($>0/9082$) و حداقل مجموع مربعات خط ($0/4782$) و جذر میانگین مربعات خط ($0/1996$) برای همه نمونه‌ها، عملکرد خوبی داشت. با افزایش غلظت اسیدهای آلی، ضریب قوام محلول موسیلاز کاهش

یافت. نمونه‌های حاوی ۱ درصد اسید مالیک دارای کمترین ضریب قوام و نمونه‌های حاوی ۰/۵ درصد اسید سیتریک دارای بیشترین ضریب قوام بودند. با افزودن اسید به محلول موسيلاز و کاهش pH آن، مقدار تنفس تسیلیم مدل‌های بینگهام و کاسون کاهش یافت. مقدار ویسکوزیته پلاستیک کاسون برای محلول شاهد تهیه شده از موسيلاز دانه ریحان، برابر ۰/۰۵۸ پاسکال ثانیه بود. نمونه حاوی ۰/۵ درصد اسید آسکوربیک دارای بیشترین (۰/۰۵۰ پاسکال ثانیه) و نمونه حاوی ۱ درصد اسید تارتاریک کمترین (۰/۰۳۲ پاسکال ثانیه) مقدار ویسکوزیته پلاستیک را داشتند.

نتیجه‌گیری: با افزودن اسید به محلول موسيلاز و در نتیجه کاهش pH، مقدار شاخص رفتار جریان نمونه‌ها (مدل‌های قانون توان و هرشل بالکلی) افزایش یافت (کاهش در رفتار سودوپلاستیکی). براساس یافته‌های این تحقیق استفاده از موسيلاز دانه ریحان در محصولات غذایی حاوی غلظت بالای اسید مالیک توصیه نمی‌شود و این اسید باعث کاهش زیاد در ویسکوزیته و قوام محصولات حاوی این موسيلاز می‌شود.

استناد: صالحی، فخرالدین؛ ثمري، كيميا؛ تشكري، مريم. (۱۴۰۳). اثر اسیدهای آلی بر ویسکوزیته و خصوصیات رئولوژیکی موسيلاز دانه ریحان. فرآوری و نگهداری مواد غذایی، ۱(۱۶)، ۳۲-۱۷.

DOI: 10.22069/fppj.2024.22164.1799



© نویسنده‌گان.

ناشر: دانشگاه علوم کشاورزی و منابع طبیعی گرگان

مقدمه

اسیدهای آلی در میوه‌ها، سبزی‌ها و غذاها یا به صورت طبیعی وجود دارند یا برای اهداف خاصی مانند کاهش pH (اسیدی کردن)، شلاته کردن فلزات، افزایش فعالیت آنتیاکسیدانی، کاهش فعالیت میکرووارگانیسم و افزایش زمان نگهداری به محصولات کشاورزی و غذاها اضافه می‌شوند و یا اینکه توسط میکرووارگانیسم‌ها تولید می‌شوند. اسیدهای آلی به عنوان مواد مغذی در نظر گرفته نمی‌شوند، اما طعم خاصی به غذا می‌دهند، باعث بهبود طعم و افزایش قابلیت هضم غذا می‌شوند (۱). مرکبات به عنوان میوه‌های اسیدی طبقه‌بندی می‌شوند، زیرا مواد جامد محلول آنها عمدتاً از اسیدهای آلی و قندها تشکیل شده است. اسیدهای آلی به عنوان شاخص اصلی بلوغ و یکی از معیارهای اصلی کیفیت طعم و پذیرش میوه‌ها می‌باشند. اسیدهای اصلی مرکبات اسیدهای سیتریک و مالیک هستند. البته مقادیر کمی هم اسید تارتاریک، بنزوئیک، اگزالیک و سوکسینیک در آنها گزارش شده است (۲، ۳).

ضرورت ویتامین C (اسید آسکوربیک) برای سلامت انسان کاملاً ثابت شده است. از آنجایی که بدن انسان قادر به سنتز اسید آسکوربیک نیست، باید این اسید آلی را از طریق رژیم غذایی خود دریافت کند (۴). اسید آسکوربیک، یک آنتیاکسیدان و حذف‌کننده رادیکال‌های آزاد است. این اسید در میوه‌ها و سبزی‌ها در غلظت‌های مختلف وجود دارد که از مقادیر کم ۵ تا ۶ میلی‌گرم در ۱۰۰ گرم (در سبب) تا حدود ۸۰ تا ۱۰۰ میلی‌گرم در هر ۱۰۰ گرم در (در پرتقال) متغیر است (۵). اسید تارتاریک یک اسید آلی طبیعی است که عمدتاً در گیاهان وجود دارد و همچنین یکی از اسیدهای آلی اصلی در انگور است (۶). اسید سیتریک، یک اسید آلی غیر سمی با سه گروه کربوکسیلیک، به طور طبیعی در مرکبات یافت می‌شود و

می‌تواند به عنوان عامل اتصال متقابل برای واکنش با گروههای هیدروکسیل نشاسته استفاده شود (۷). اسیدهای آلی مانند اسید تارتاریک و اسید سیتریک ایمن و ارزان هستند که به طور طبیعی وجود دارند و معمولاً در صنایع غذایی استفاده می‌شوند. اسید تارتاریک و اسید سیتریک به ترتیب اسیدهای دی‌کربوکسیلیک و تری‌کربوکسیلیک هستند که قادر به اتصال متقابل مولکول‌های پروتئین هستند (۸). در میان اسیدهای آلی، اسید مالیک یک اسید دی کربوکسیلیک استخراج شده از میوه است که به عنوان یک افروزنده غذایی تأیید شده و در فرمولاسیون مواد غذایی مختلف استفاده می‌شود (۹).

اسیدهای آلی و نمک‌های آن‌ها به عنوان اسیدهای ضعیف در نظر گرفته می‌شوند، به این معنی که به طور کامل در آب تجزیه نمی‌شوند (۹). از اسیدهای آلی در اکثر سس‌ها استفاده می‌شود. سس مایونز امولسیون روغن در آب با محدوده pH اسیدی است (۱۰). طعم ترش سس سویا عمدتاً از اسیدهای آلی مختلف از جمله اسیدهای آلی غیرفرار مانند اسید مالیک، اسید فوماریک، اسید پیروگلوتامیک، اسیدلاکتیک، اسیدسیتریک، اسید سوکسینیک و اسیدهای آلی فرار مانند اسید استیک، اسید بوتیریک و غیره ناشی می‌شود (۱۱).

موسیلاژ‌ها هیدروکلریک‌های کربوکسیلاتی غیر نشاسته‌ای آب‌دوست با وزن مولکولی بالا هستند. این ترکیبات معمولاً به عنوان عوامل غلیظ کننده، عوامل ژل کننده و پایدارکننده برای افزایش ویسکوزیته و بهبود ویژگی‌های بافتی و رئولوژیکی محصولات غذایی استفاده می‌شوند (۱۲). موسیلاژ‌ها در بهبود قوام و خواص بافتی محصولات غذایی مانند انواع سس‌ها، محصولات لبنی، سوپ‌ها، دسرها، محصولات نانوایی و قنادی نقش مهمی دارند (۱۳-۱۷). موسیلاژ دانه ریحان یک هیدروکلریک استخراج شده از

سرعت برشی ۵۰ برشی (برثانیه) از ۰/۹۸ پاسکال ثانیه به ۰/۶۷ پاسکال ثانیه شد (۲۴).

خواص رئولوژیکی در ایجاد روابط ساختار-عملکرد مفید است. بنابراین، تجزیه و تحلیل رئولوژیکی ممکن است درک اساسی در مورد ساختار و ویژگی‌های مواد غذایی ارائه دهد (۲۰). برای کمک به توسعه استفاده گسترده از موسیلاژ‌های جدید مانند موسیلاژ دانه ریحان در سیستم‌های غذایی و غیرغذایی، تحقیقات بیشتری در مورد رفتار رئولوژیک آنها در شرایط مختلف مورد نیاز است. از اسیدهای آلی خوراکی مانند مالیک، سیتریک، آسکوربیک و تارتاریک معمولاً برای کنترل pH در برخی از محصولات غذایی استفاده می‌شود. لذا در این مطالعه، اثر افزودن اسیدهای آلی خوراکی شامل اسید آسکوربیک، اسید سیتریک، اسید مالیک و اسید تارتاریک در غلاظت‌های مختلف بر تغییر ویسکوزیته و خواص رئولوژیکی محلول تهیه شده از موسیلاژ دانه ریحان بررسی شد.

مواد و روش‌ها

مواد اولیه

تهیه اسیدهای آلی: اسیدهای آلی شامل آسکوربیک، تارتاریک، مالیک و سیتریک (tca، چین) به صورت پودر خریداری و در آب مقطر حل شدند. از هر اسید دو غلاظت ۰/۵ درصد و ۱ درصد تهیه شد.

تهیه موسیلاژ دانه ریحان: برای استخراج موسیلاژ دانه ریحان، دانه‌های ریحان از استان همدان تهیه و ناخالصی آنها جداسازی گردید. ابتدا دانه‌های ریحان به مدت ۲۰ دقیقه درون آب با دمای ۲۵ درجه سلسیوس و نسبت آب به دانه برابر ۲۰ به ۱ قرار گرفتند (۲۵، ۱۸). موسیلاژ خارج شده از دانه‌ها، توسط یک جداکننده آزمایشگاهی جدا (FJ-479، تولیپس، ایران) و سپس توسط آون (شیماز، ایران) در

دانه‌های *Ocimum basilicum* L. است. هنگامی که این موسیلاژ با آب مخلوط می‌شود، باعث افزایش ویسکوزیته آن می‌شود. البته ویسکوزیته این ماده ژل مانند در هنگام هم زدن کاهش می‌یابد و محصول رفتار شبیه پلاستیک از خود نشان می‌دهد (۱۸). تأثیر دما، ساکارز و لاکتوز بر خواص محلول رقیق صمغ دانه ریحان توسط میرابوالحسنی و همکاران (۲۰۱۶) بررسی شده است. یافته‌های این پژوهش نشان داد که قندها تأثیر معنی‌داری بر خواص محلول رقیق صمغ دانه ریحان دارند. اگرچه ویسکوزیته ذاتی این صمغ تحت تأثیر دما قرار گرفت، اما با افزایش دما روند یکنواختی را دنبال نکرد و پس از ۵۵ درجه سلسیوس کاهش یافت (۱۹).

اکثر پلی ساکاریدها در محلول‌های آبی به شکل ماقرویون هستند و ابعاد آنها توسط دافعه الکترواستاتیکی منبسط و با جاذبه الکترواستاتیکی بین بخش‌های زنجیره‌ای، منقبض می‌شود که در نتیجه واپستگی غیرخطی منحصر به فردی در ویسکوزیته محلول‌ها ایجاد می‌کنند (۲۰). افزودن اسید به محلول آبی حاوی موسیلاژ‌ها و در نتیجه تغییر pH محلول، جزء عوامل مهم و تأثیرگذار بر ویسکوزیته و خواص رئولوژیکی محلول‌های هیدروکلوفیدی است (۱۳، ۱۵، ۲۱، ۲۲). مارتینز و همکاران (۲۰۲۳) گزارش کردند که رفتار جریان موسیلاژ گزانستان و کربوکسی متیل سلولز تحت شرایط شدید اسیدی تغییر می‌کند (۲۳). باک و یو (۲۰۲۳) اثر تغییر pH بر ویژگی‌های رئولوژیکی مخلوط موسیلاژ سه تایی تهیه شده از موسیلاژ گزانستان، موسیلاژ گوار و کربوکسی متیل سلولز را بررسی کردند. بر اساس نتایج این پژوهش، افزایش اسیدیته محیط (کاهش سطح pH از ۷ به ۳)، منجر به افزایش شاخص رفتار جریان از ۰/۱۳ به ۰/۲۸ Pa.s^۰، کاهش ضریب قوام از ۲۹/۹ Pa.s^۱ به ۱۱/۱ و همچنین کاهش ویسکوزیته ظاهری (در

سرعت برشی محلول‌های موسیلاژ دانه ریحان حاوی اسیدهای آلی خوراکی استفاده شد. برای برآش داده و محاسبه مقادیر ثابت مدل‌ها، از نرم‌افزار متلب (نسخه R2012a) و جعبه ابزار برآش داده‌ها (cftool) استفاده شد.

$$\tau = k \dot{\gamma}^n \quad (1)$$

در معادله ۱، τ سرعت برشی (s^{-1})، $\dot{\gamma}$ تنش برشی (پاسکال)، k ضریب قوام ($Pa.s^n$) و n شاخص رفتار جریان (بدون واحد) هستند (۱۸).

$$\tau = \tau_{0B} + \eta_B \dot{\gamma} \quad (2)$$

در معادله ۲، τ سرعت برشی (s^{-1})، $\dot{\gamma}$ تنش برشی (پاسکال)، τ_{0B} تنش تسلیم بینگهام (پاسکال) و η_B ویسکوزیته پلاستیک بینگهام ($Pa.s$) هستند.

$$\tau = \tau_{0H} + k_H \dot{\gamma}^{n_H} \quad (3)$$

در معادله ۳، τ تنش برشی (پاسکال)، τ_{0H} تنش تسلیم (پاسکال)، k_H ضریب قوام ($Pa.s^n$)، $\dot{\gamma}$ سرعت برشی (s^{-1}) و n_H شاخص رفتار جریان برای مدل هرشل بالکلی می‌باشد.

$$\tau^{0.5} = \tau_{0C}^{0.5} + \eta_C \dot{\gamma}^{0.5} \quad (4)$$

در معادله ۴، τ سرعت برشی (s^{-1})، $\dot{\gamma}$ تنش برشی (پاسکال)، τ_{0C} تنش تسلیم کاسون (پاسکال) و η_C ویسکوزیته پلاستیک کاسون ($Pa.s$) هستند.

آنالیز آماری

در این پژوهش اثر چهار اسید آلی (اسید آسکوربیک، اسید سیتریک، اسید مالیک و اسید تارتاریک) در دو غلاظت ۰/۵ و ۱ درصد بر تغیر ویسکوزیته و خصوصیات رئولوژیکی موسیلاژ دانه ریحان بررسی شد. این پژوهش در قالب فاکتوریل بر پایه طرح کاملاً تصادفی انجام و با استفاده از نرم‌افزار SPSS 21 تجزیه و تحلیل شد. تمام آزمون‌ها در سه تکرار انجام و برای مقایسه میانگین پاسخ‌های مشاهده

دمای ۶۰ درجه سلسیوس خشک و در نهایت با آسیاب (FJ-479، تولیپس، ایران)، به شکل پودر تبدیل گردید. پودر موسیلاژ آسیاب شده، بسته‌بندی و در جای خشک و خنک نگهداری شد.

تهیه محلول‌های اسیدی حاوی موسیلاژ دانه ریحان: در این پژوهش، برای تهیه محلول‌های مورد استفاده جهت آزمایش‌های رئولوژیکی، ۰/۲ درصد (وزنی/حجمی) از پودر موسیلاژ دانه ریحان درون محلول تهیه شده از هر اسید به صورت کامل حل شد (توسط همزن مغناطیسی، شیماز، ایران). برای تکمیل آبگیری موسیلاژ نیز یک ساعت محلول در جای خنک نگهداری شد. برای تهیه نمونه شاهد، ۰/۲ درصد از موسیلاژ در آب مقطر (۰ درصد اسید) حل و به مدت یک ساعت در دمای اتاق نگهداری جهت تکمیل فرآیند آبگیری نگهداری شد.

اندازه‌گیری ویسکوزیته و تنش برشی: برای اندازه‌گیری خصوصیات رئولوژیکی محلول‌های حاوی اسید و موسیلاژ دانه ریحان، از یک ویسکومتر چرخشی (بروکفیلد، RV DV2T، آمریکا) استفاده شد. با استفاده از این دستگاه، ویسکوزیته و تنش برشی نمونه‌ها در سرعت برشی ۱۲/۲ تا ۱۷۱/۲ بر ثانیه با استفاده از کیت UL آداتپور در دمای ۲۰ درجه سلسیوس اندازه‌گیری شد (۲۶). برای اندازه‌گیری ویسکوزیته ظاهری محلول‌ها نیز ویسکوزیته نمونه‌ها در سرعت برشی ۴۹ بر ثانیه اندازه‌گیری شد.

مدل‌های رئولوژیکی: معادلات قانون توان^۱ (معادله ۱)، بینگهام^۲ (معادله ۲)، هرشل بالکلی^۳ (معادله ۳) و کاسون^۴ (معادله ۴)، مدل‌های متداولی برای بررسی رفتار رئولوژیکی موسیلاژ‌ها هستند (۲۷). در این تحقیق از این مدل‌ها برای برآش نتایج تنش برشی و

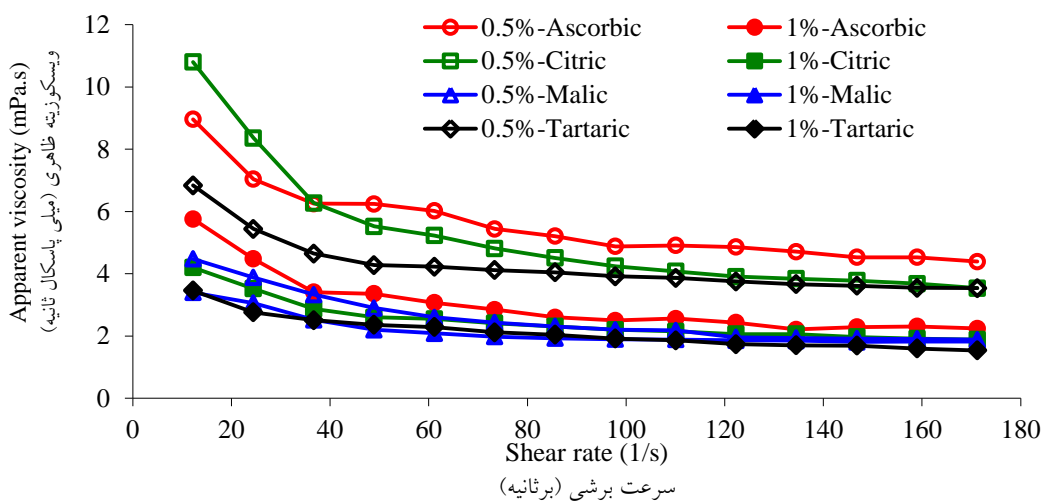
1. Power law
2. Bingham
3. Herschel-Bulkley
4. Casson

مشابه گزارش شده است (۱۸، ۱۲). در این شکل مشاهده می‌شود که ویسکوزیته ظاهری محلول موسیلاز دانه ریحان با افزایش سرعت برشی کاهش یافته است (رفتار سودوپلاستیکی). در این مطالعه، ویسکوزیته ظاهری نمونه حاوی ۰/۵ اسید سیتریک با افزایش سرعت برشی از ۱۲/۲ برثانیه به ۱۷/۱/۲ برثانیه، از ۱۰/۸ میلی پاسکال ثانیه به ۳/۵ میلی پاسکال ثانیه کاهش یافت. گروهی از پژوهشگران تأثیر pH (۵/۵-۷/۵) و یون کلسیم بر رفتار رئولوژیکی ژلهای مخلوط بتا-لاکتوگلوبولین-صمغ دانه ریحان (۱ درصد) را بررسی کردند. بر اساس نتایج گزارش شده نقطه ژل شدن ژلهای بتا-لاکتوگلوبولین و صمغ دانه ریحان بهشت وابسته به pH گزارش شده و ژلهای سفت‌تر در pH بالاتر تشکیل شده‌اند (۲۹).

شده، از آزمون چند دامنه‌ای دانکن در سطح احتمال ۹۵ درصد استفاده شد.

نتایج و بحث

ویسکوزیته ظاهری: رفتار غیر نیوتینی سودوپلاستیکی یا شل شدن برشی به دلیل جهت‌گیری زنجیره‌های پلیمری در جهت تنش برشی است که منجر به کاهش برهمکنش‌ها و شکستن پیوندهای قوی در سرعت‌های برشی بالا می‌شود (۲۸). شکل ۱ نحوه تغییر ویسکوزیته محلول موسیلاز دانه ریحان هنگام اعمال برش در سرعت‌های مختلف را نشان می‌دهد. مقدادیر ویسکوزیته ظاهری با افزایش سرعت برشی کاهش یافت، که نشان می‌دهد دیسپرسیون موسیلاز جزء سیالات غیر نیوتینی است، همان طور که قبلًا در مطالعات دیگر در مورد محلول‌های سایر موسیلاز‌های



شکل ۱- تأثیر سرعت برشی بر ویسکوزیته ظاهری محلول موسیلاز دانه ریحان حاوی اسیدهای آلی مختلف.

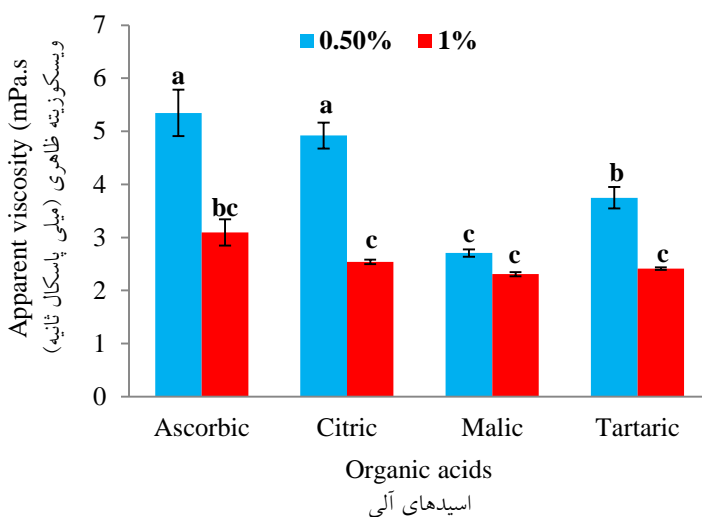
Figure 1. Impact of shear rate on the apparent viscosity of Basil seed mucilage solution containing various organic acids.

تأثیر می‌گذارد و در نتیجه ویسکوزیته محلول کاهش می‌یابد (۳۰). ویسکوزیته نمونه شاهد موسیلاز دانه ریحان برابر ۳۶/۴۹ میلی پاسکال ثانیه بود. ویسکوزیته محلول موسیلاز دانه ریحان در حضور اسیدهای آلی

با کاهش pH محلول تهیه شده از موسیلازها، گروههای کربوکسیلات از گروههای یونیزه به گروههای غیریونیزه تبدیل می‌شوند، که بر دافعه الکترواستاتیکی در میان زنجیره‌های جانبی موسیلاز

۵/۰ به ۱ درصد، ویسکوزیته موسیلاژ دانه ریحان به صورت معنی داری ($p<0.05$) از ۴/۹۲ میلی پاسکال ثانیه به ۲/۵۴ میلی پاسکال ثانیه کاهش یافت (سرعت برشی برابر ۴۹ بر ثانیه). همراستا با نتایج این پژوهش، امین و همکاران (۲۰۰۷) گزارش کردند که ویسکوزیته موسیلاژ دانه دوریان با کاهش pH، به دلیل تحریب زنجیره‌های پلیمری تحت شرایط اسیدی، کاهش یافته است (۳۱).

مختلف در شکل ۲ گزارش شده است. افزودن اسیدهای آلی به موسیلاژ دانه ریحان، ویسکوزیته آن را کاهش داد و این رفتار برای تمام اسیدهای آلی مشاهده شد. بیشترین کاهش ویسکوزیته مربوط به محلول حاوی ۱ درصد اسید مالیک (۲/۳۱ میلی پاسکال ثانیه) و کمترین آن مربوط به اسید آسکوربیک با غلظت ۰/۵ درصد (۵/۳۵ میلی پاسکال ثانیه) بود. نتایج نشان داد که با افزایش غلظت اسید سیتریک از



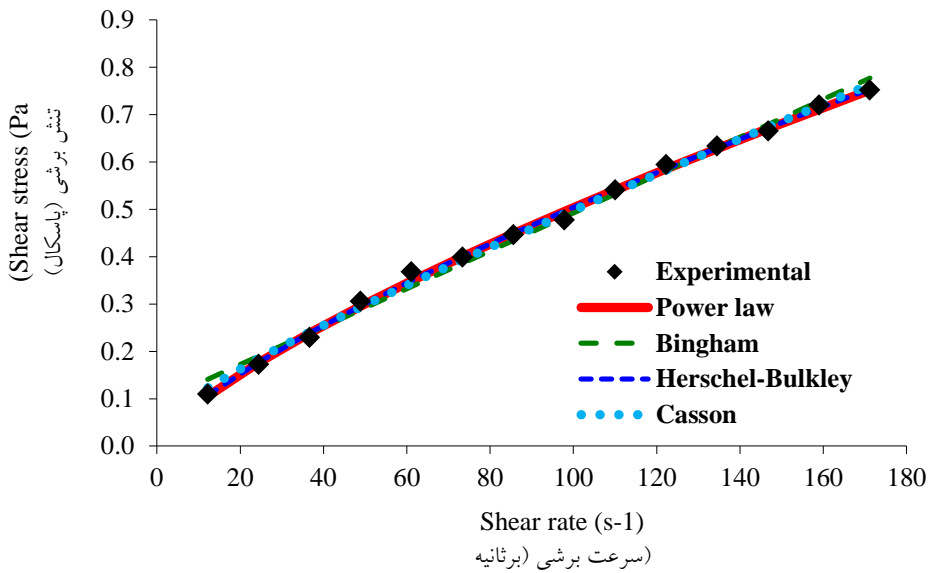
شکل ۲- تأثیر اسیدهای آلی بر ویسکوزیته ظاهری محلول موسیلاژ دانه ریحان (سرعت برشی برابر ۴۹ بر ثانیه)
حروف مختلف بالای ستون‌ها نشان‌دهنده وجود تفاوت معنی دار است ($p<0.05$)

Figure 2. Impact of organic acids on the apparent viscosity of Basil seed mucilage solution (shear rate=49).

Different letters above the columns indicate significant difference ($p<0.05$)

رئولوژیکی با داده‌های آزمایشگاهی را نشان می‌دهد. این شکل نشان می‌دهد که هر دو معادله قانون توان و هرشن بالکلی در پیش‌بینی روابط بین داده‌های تنش برشی و سرعت برشی محلول موسیلاژ دانه ریحان حاوی اسیدهای آلی به یک اندازه مناسب هستند؛ اما چون تعداد پارامترهای مدل قانون توان کمتر است (دو پارامتر) و تنش تسلیم محاسبه شده توسط معادله هرشن بالکلی نزدیک صفر است، لذا مدل قانون توان به عنوان مدل مناسب برای بررسی خصوصیات رئولوژیکی محلول‌ها انتخاب شد.

مدل‌سازی رئولوژیکی: درک اولیه از فعل و انفعالات بین مولکولی و رفتار رئولوژیکی موسیلاژها برای کاربرد بالقوه آنها به عنوان یک عامل غلیظ کننده و ثبیت‌کننده در صنایع غذایی ضروری است (۲۰). در این پژوهش، رفتار رئولوژیکی محلول موسیلاژ دانه ریحان با استفاده از مدل‌های قانون توان، بینگهام، هرشن بالکلی و کاسون مدل‌سازی شد و در مجموع مدل قانون توان به عنوان بهترین مدل برای توصیف رفتار جریانی محلول موسیلاژ دانه ریحان انتخاب شد. شکل ۳ تناسب داده‌های به دست آمده از معادلات



شکل ۳- قابلیت برآش معادلات مختلف رئولوژیکی برای داده‌های تنش برشی آزمایشگاهی (نمونه آسکوربیک اسید، ۰/۵ درصد).
Figure 3. Fitting ability of various rheological equations for experimental shear stress data (ascorbic acid sample, 0.5%).

مرو (۰/۲ درصد، وزنی/حجمی) در شرایط اسیدی و با کاهش pH از ۷ به ۳، از $۰/۷۰۶ \text{ Pa.s}^n$ به $۰/۳۰۴$ کاهش می‌یابد (۲۸).

تأثیر اسیدهای آلی بر مقدار شاخص رفتار جریان محلول موسیلاژ دانه ریحان در جدول ۱ گزارش شده است. شاخص رفتار جریان نمونه شاهد برابر $۰/۳۵$ بود. با افزودن اسید به محلول موسیلاژها، مقدار شاخص رفتار جریان نمونه‌ها افزایش یافت (کاهش در رفتار شل شدن برشی). نمونه حاوی $۰/۵$ درصد اسید سیتریک دارای کمترین مقدار شاخص رفتار جریان و نمونه حاوی ۱ درصد اسید مالیک بیشترین مقدار را داشت. نتایج نشان داد که با افزایش غلظت اسید مالیک از $۰/۵$ درصد به ۱ درصد، شاخص رفتار جریان محلول از $۰/۷۰$ به $۰/۸۱$ افزایش می‌یابد. به طور مشابه فرحتاکی و همکاران (۲۰۱۳) گزارش کردند که شاخص رفتار جریان موسیلاژ دانه مرو (۰/۲ درصد، وزنی/حجمی) در شرایط اسیدی و با کاهش pH از ۷ به ۳، از $۰/۴۱$ به $۰/۴۴$ افزایش می‌یابد (۲۸).

مدل قانون توان: مدل قانون توان توصیف خوبی از رابطه بین تنش برشی و سرعت برشی با بیشترین مقدار ضریب تبیین ($>۰/۹۰۸۲$)، و حداقل مجموع مربعات خطأ ($<۰/۴۷۸۲$) و جذر میانگین مربعات خطأ ($<۰/۱۹۹۶$) برای همه نمونه‌ها داشت (جدول ۱). در جدول ۱ تأثیر اسیدهای آلی بر مقدار ضریب قوام محلول موسیلاژ دانه ریحان گزارش شده است. نتایج نشان می‌دهد که با افزایش درصد اسید، مقدار ضریب قوام نمونه‌ها کاهش یافته است. ضریب قوام نمونه شاهد برابر $۰/۴۹۳ \text{ Pa.s}^n$ بود. در بین نمونه‌های دارای اسید، نمونه حاوی $۰/۵$ درصد اسید سیتریک دارای بیشترین ضریب قوام و نمونه حاوی ۱ درصد اسید مالیک دارای کمترین ضریب قوام بودند. نتایج نشان داد که با افزایش غلظت اسید سیتریک از $۰/۵$ به ۱ درصد، مقدار ضریب قوام نمونه‌ها به صورت معنی‌داری از $۰/۰۲۴ \text{ Pa.s}^n$ به $۰/۰۰۸ \text{ Pa.s}^n$ کاهش می‌یابد ($p < 0/05$). به طور مشابه فرحتاکی و همکاران (۲۰۱۳) گزارش کردند که ضریب قوام موسیلاژ دانه

جدول ۱- اثرات اسیدهای آلی بر پارامترها و مقادیر خطای مدل قانون توان

Table 1- Effects of organic acids on the parameters and error values of Power law model

اسید آلی Organic acid	غلظت اسید Acid concentration	ضریب قوام (Pa.s ⁿ) Consistency coefficient (Pa.s ⁿ)	شاخص رفتار جریان Flow behavior index	مجموع مربعات خطا Sum of squared error (SSE)	ضریب تبیین Correlation coefficient (r)	جذر میانگین مربعات خطا Root mean square error (RMSE)
آسکوربیک Ascorbic		0.015±0.003 ^b	0.74±0.038 ^{ab}	0.0035	0.9949	0.0162
سیتریک Citric	0.5%	0.024±0.001 ^a	0.61±0.001 ^c	0.0017	0.9966	0.0118
مالیک Malic		0.009±0.002 ^{cd}	0.70±0.037 ^{bc}	0.0006	0.9966	0.0071
تارتاریک Tartaric		0.010±0.002 ^c	0.77±0.046 ^{ab}	0.0017	0.9990	0.0064
آسکوربیک Ascorbic		0.009±0.003 ^{cd}	0.74±0.066 ^{ab}	0.0024	0.9935	0.0113
سیتریک Citric	1%	0.008±0.001 ^{cd}	0.73±0.033 ^{ab}	0.0002	0.9989	0.0040
مالیک Malic		0.005±0.001 ^d	0.81±0.027 ^a	0.0002	0.9989	0.0037
تارتاریک Tartaric		0.008±0.001 ^{cd}	0.69±0.036 ^{bc}	0.0004	0.9971	0.0058

حروف مختلف در هر ستون نشان‌دهنده تفاوت معنی‌داری است ($p < 0.05$)

Different letters within each column represent significance difference ($p < 0.05$)

درصد، مقدار تنش تسلیم محلول موسیلاژ از ۰/۰۶۴۲ پاسکال به ۰/۰۴۱۸ پاسکال کاهش یافت ($p < 0/05$). با افزودن اسیدهای آلی به محلول موسیلاژ، مقدار ویسکوزیته پلاستیک (مدل بینگهام) موسیلاژ دانه ریحان کاهش یافت (جدول ۲). مقدار ویسکوزیته پلاستیک برای نمونه شاهد تهیه شده از موسیلاژ دانه ریحان، برابر ۰/۰۰۹۳ پاسکال ثانیه بود که اختلاف معناداری با نمونه‌های حاوی اسید داشت ($p < 0/05$). نمونه حاوی ۰/۵ درصد اسید آسکوربیک دارای بیشترین مقدار (۰/۰۰۳۴ پاسکال ثانیه) و نمونه حاوی ۰/۵ درصد اسید مالیک کمترین (۰/۰۰۱۶ پاسکال ثانیه) مقدار ویسکوزیته پلاستیک را داشت. نتایج نشان داد که با افزایش غلظت اسید آسکوربیک از ۰/۵ درصد به ۱ درصد، ویسکوزیته پلاستیک محلول به صورت معنی‌داری از ۰/۰۰۳۴ پاسکال ثانیه به ۰/۰۰۱۹ پاسکال ثانیه کاهش یافت ($p < 0/05$).

مدل بینگهام: مقدار ضریب تبیین، حداقل مجموع مربعات خطای جذر میانگین مربعات خطای برای مدل بینگهام به ترتیب در محدوده ۰/۷۹۹۱ تا ۰/۹۹۹۲، ۰/۹۵۷۷ تا ۰/۹۵۷ و ۰/۰۰۳۵ تا ۰/۰۰۰۱ آمد (جدول ۲). افزودن اسیدهای آلی و در نتیجه کاهش pH محلول حاوی موسیلاژ دانه ریحان، باعث تغییر تنش تسلیم و ویسکوزیته پلاستیک بینگهام شد. در جدول ۲ تأثیر اسیدهای آلی بر مقدار تنش تسلیم بینگهام محلول موسیلاژ دانه ریحان گزارش شده است. نتایج نشان می‌دهد که با افزودن اسید به محلول موسیلاژ و در نتیجه کاهش pH آن، مقدار تنش تسلیم مدل بینگهام کاهش یافته است. تنش تسلیم محلول شاهد برابر ۱/۲۵۱ پاسکال بود. در بین نمونه‌های دارای اسید، نمونه حاوی ۱ درصد اسید مالیک دارای کمترین تنش تسلیم و نمونه حاوی ۰/۵ درصد اسید سیتریک دارای بیشترین تنش تسلیم بودند. نتایج نشان داد با افزایش غلظت اسید سیتریک از ۰/۵ به ۱

جدول ۲- اثرات اسیدهای آلی بر پارامترها و مقادیر خطای مدل بینگهام

Table 2- Effects of organic acids on the parameters and error values of Bingham model

اسید آلی Organic acid	غلوظت اسید Acid concentration	تش تسلیم بینگهام Bingham yield stress (Pa)	ویسکوزیته پلاستیک Bingham plastic viscosity (Pa.s)	مجموع مربعات خطای Sum of squared error (SSE)	ضریب تبیین Correlation coefficient (r)	جذر میانگین مربعات خطای Root mean square error (RMSE)
آسکوربیک Ascorbic	0.5%	۰.۰۵۵۶±۰.۰۳۴ ^a	۰.۰۰۳۴±۰.۰۰۰۴ ^a	۰.۰۰۲۶	۰.۹۹۶۹	۰.۰۱۳۹
سیتریک Citric		۰.۰۶۴۲±۰.۰۴۲ ^a	۰.۰۰۲۷±۰.۰۰۰۱ ^b	۰.۰۰۱۵	۰.۹۹۷۰	۰.۰۱۱۳
مالیک Malic		۰.۰۴۹۳±۰.۰۰۶ ^a	۰.۰۰۱۶±۰.۰۰۰۰ ^c	۰.۰۰۰۶	۰.۹۹۶۵	۰.۰۰۶۹
تارتاریک Tartaric		۰.۰۵۵۱±۰.۰۰۹ ^a	۰.۰۰۲۷±۰.۰۰۰۴ ^b	۰.۰۰۱۰	۰.۹۹۷۷	۰.۰۰۸۸
آسکوربیک Ascorbic	1%	۰.۰۵۳۶±۰.۰۱۸ ^a	۰.۰۰۱۹±۰.۰۰۰۱ ^c	۰.۰۰۱۴	۰.۹۹۶۷	۰.۳۲۴۸
سیتریک Citric		۰.۰۴۱۸±۰.۰۰۵ ^a	۰.۰۰۱۷±۰.۰۰۰۰ ^c	۰.۰۰۰۹	۰.۹۹۵۱	۰.۰۰۸۵
مالیک Malic		۰.۰۲۷۱±۰.۰۰۳ ^a	۰.۰۰۱۷±۰.۰۰۰۱ ^c	۰.۰۰۲۱	۰.۹۹۸۴	۰.۰۰۴۸
تارتاریک Tartaric		۰.۰۴۳۵±۰.۰۰۴ ^a	۰.۰۰۱۴±۰.۰۰۰۱ ^c	۰.۰۰۱۲	۰.۹۹۱۴	۰.۰۱۰۰

حروف مختلف در هر ستون نشان‌دهنده تفاوت معنی‌داری است ($p < 0.05$)Different letters within each column represent significance difference ($p < 0.05$)

۰/۴۴۴ Pa.sⁿ بود که اختلاف معناداری با نمونه‌های حاوی اسید داشت. با افزایش درصد اسید، مقدار ضربی قوام نمونه‌ها کاهش یافت. نمونه حاوی ۱ درصد اسید آسکوربیک دارای کمترین (۰/۰۰۲ Pa.sⁿ) و نمونه حاوی ۰/۵ درصد اسید سیتریک دارای بیشترین (۰/۰۰۸ Pa.sⁿ) ضربی قوام بودند. نتایج نشان داد که با غلوظت افزایش اسید آسکوربیک از ۰/۵ به ۱ درصد، ضربی قوام نمونه‌ها از ۰/۰۰۷ Pa.sⁿ به ۰/۰۰۲ Pa.sⁿ کاهش یافت.

با افزودن اسید به محلول موسیلазر و در نتیجه کاهش pH آن، مقدار شاخص رفتار جریان محلول افزایش یافت (کاهش در رفتار سودوپلاستیکی). نمونه شاهد کمترین مقدار شاخص رفتار جریان (۰/۳۸) و نمونه حاوی ۱ درصد اسید آسکوربیک بیشترین مقدار شاخص رفتار جریان (۰/۹۹) را داشت. نتایج نشان داد

مدل هرشل بالکلی: در این مطالعه، مدل هرشل بالکلی هم مشابه مدل قانون توان توصیف خوبی از رابطه بین تش برشی و سرعت برشی با متوسط ضربی تبیین برابر ۰/۹۹۱۷، مجموع مربعات خطای برابر ۰/۰۳۸۷ و جذر میانگین مربعات خطای برابر ۰/۰۲۶۹ داشت. در این مطالعه متوسط تش تسلیم مدل هرشل بالکلی برابر ۰/۰۳۷۱ پاسکال به دست آمد (جدول ۳).

تغییر در مقدار ضربی قوام و شاخص رفتار جریان محلول موسیلازرها، به دلیل تغییرات ساختاری موسیلازر در حضور اسیدهای مختلف می‌باشد. در این پژوهش نیز وجود اسیدهای آلی در محلول حاوی موسیلازر دانه ریحان تأثیر قابل توجهی بر تغییرات ضربی قوام و شاخص رفتار جریان محلول موسیلازر داشت. مقدار ضربی قوام برای نمونه شاهد برابر

اثر اسیدهای آلی بر ویسکوزیته و خصوصیات... / فخرالدین صالحی و همکاران

۰/۸۵ به ۰/۹۰ افزایش یافت، البته این افزایش معنی دار نبود ($p > 0.05$).

که با افزایش غلظت اسید مالیک از ۰/۵ درصد به ۱ درصد، شاخص رفتار جریان موسیلاژ دانه ریحان از

جدول ۳- اثرات اسیدهای آلی بر پارامترها و مقادیر خطای مدل هرشل بالکلی

Table 3- Effects of organic acids on the parameters and error values of Herschel-Bulkley model

اسید آلی Organic acid	غلظت اسید Acid concentration	تنش تسليم (پاسکال) Yield stress (Pa)	ضریب قوام (Pa.s ⁿ) Consistency coefficient (Pa.s ⁿ)	شاخص رفتار جریان Flow behavior index	مجموع مربعات خطای خطا Sum of squared error (SSE)	ضریب تبیین Correlation coefficient (r)	جذر میانگین مربعات خطای Root mean square error (RMSE)
آسکوربیک Ascorbic	0.5%	0.064±0.043 ^{ab}	0.007±0.006 ^a	0.95±0.14 ^a	0.0015	0.9979	0.0412
		0.076±0.005 ^a	0.008±0.002 ^a	0.81±0.03 ^{ab}	0.0006	0.9987	0.0076
		0.028±0.010 ^{bc}	0.004±0.002 ^a	0.85±0.11 ^{ab}	0.0004	0.9980	0.0057
سیتریک Citric	1%	0.019±0.011 ^{bc}	0.007±0.003 ^a	0.84±0.09 ^{ab}	0.0003	0.9993	0.0054
		0.050±0.028 ^{abc}	0.002±0.002 ^a	0.99±0.13 ^a	0.0007	0.9974	0.0077
		0.006±0.004 ^c	0.007±0.002 ^a	0.76±0.05 ^{ab}	0.0002	0.9990	0.0041
مالیک Malic		0.013±0.013 ^c	0.003±0.002 ^a	0.90±0.10 ^{ab}	0.0001	0.9996	0.0026
		0.006±0.008 ^c	0.007±0.002 ^a	0.72±0.08 ^b	0.0004	0.9972	0.0059

حرروف مختلف در هر ستون نشان دهنده تفاوت معنی داری است ($p < 0.05$)

Different letters within each column represent significance difference ($p < 0.05$)

سیتریک از ۰/۵ به ۱ درصد، مقدار تنش تسليم محلول موسیلاژ به صورت معنی داری از ۰/۰۵۰ پاسکال به ۰/۰۱۲ پاسکال کاهش یافت ($p < 0.05$). با افزایش غلظت اسید، مقدار ویسکوزیته پلاستیک محلول موسیلاژ کاهش یافت. مقدار ویسکوزیته پلاستیک کاسون برای محلول شاهد تهیه شده از موسیلاژ دانه ریحان، برابر ۰/۰۵۸ پاسکال ثانیه بود. نمونه حاوی ۰/۵ درصد اسید آسکوربیک دارای بیشترین (۰/۰۵۰ پاسکال ثانیه) و نمونه حاوی ۱ درصد اسید تارتاریک کمترین (۰/۰۳۲ پاسکال ثانیه) مقدار ویسکوزیته پلاستیک را داشتند. با افزایش غلظت اسید آسکوربیک از ۰/۵ درصد به ۱ درصد، ویسکوزیته پلاستیک محلول به صورت معنی داری از ۰/۰۵۰ پاسکال ثانیه به ۰/۰۳۸ پاسکال ثانیه کاهش یافت ($p < 0.05$).

مدل کاسون: در این پژوهش متوسط مقدار ضریب تبیین، حداقل مجموع مربعات خطای و جذر میانگین مربعات خطای برای مدل کاسون به ترتیب برابر ۰/۹۷۴، ۰/۰۲۷۷ و ۰/۰۵۷۲ بود (جدول ۴). در جدول ۴ تأثیر اسیدهای آلی بر مقدار تنش تسليم کاسون محلول موسیلاژ دانه ریحان گزارش شده است. نتایج نشان می دهد که با افزودن اسید به محلول موسیلاژ و در نتیجه کاهش pH آن، مقدار تنش تسليم مدل کاسون کاهش یافته است. مقدار تنش تسليم برای نمونه شاهد برابر ۰/۸۴۳ پاسکال بود که اختلاف معناداری با نمونه های حاوی اسید داشت. نمونه حاوی ۰/۵ درصد اسید سیتریک دارای بیشترین تنش تسليم و نمونه حاوی ۱ درصد اسید مالیک دارای کمترین تنش تسليم بودند. با افزایش غلظت اسید

جدول ۴- اثرات اسیدهای آلی بر پارامترها و مقادیر خطای مدل کاسون

Table 4- Effects of organic acids on the parameters and error values of Casson model

اسید آلی Organic acid	غذلت اسید Acid concentration	تنش تسلیم کاسون Casson yield stress (Pa)	ویسکوزیته پلاستیک کاسون (پاسکال ثانیه) Casson plastic viscosity (Pa.s)	مجموع مربعات خطای مدل Sum of squared error (SSE)	ضریب تبیین Correlation coefficient (r)	جذر میانگین مربعات خطای مدل Root mean square error (RMSE)
آسکوربیک Ascorbic	0.5%	0.025±0.008 ^b	0.050±0.003 ^a	0.0024	0.9968	0.0137
سیتریک Citric		0.050±0.002 ^a	0.041±0.001 ^b	0.0006	0.9987	0.0072
مالیک Malic		0.016±0.004 ^{bc}	0.034±0.001 ^{cd}	0.0004	0.9978	0.0057
تارتاریک Tartaric		0.014±0.005 ^{bc}	0.046±0.004 ^a	0.0005	0.9989	0.0061
آسکوربیک Ascorbic	1%	0.017±0.008 ^{bc}	0.038±0.001 ^{bc}	0.0018	0.9961	0.0088
سیتریک Citric		0.012±0.003 ^c	0.035±0.001 ^{cd}	0.0004	0.9979	0.0055
مالیک Malic		0.006±0.001 ^c	0.037±0.001 ^{bc}	0.0002	0.9991	0.0036
تارتاریک Tartaric		0.015±0.003 ^{bc}	0.032±0.002 ^d	0.0007	0.9954	0.0074

(p < 0.05) حروف مختلف در هر ستون نشان‌دهنده تفاوت معنی‌داری است (p < 0.05)

Different letters within each column represent significance difference (p < 0.05)

که مدل قانون توان بهترین مدل است و متوسط مقدار ضریب تبیین، حداقل مجموع مربعات خطای جذر میانگین مربعات خطای برای این مدل به ترتیب برابر ۰/۹۹۰۵، ۰/۰۳۹۰ و ۰/۰۲۴۹ می‌باشد. با افزایش درصد اسید، مقدار ضریب قوام (مدل‌های قانون توان و هرشل بالکلی) نمونه‌ها کاهش یافت. با افزودن اسید به محلول موسیلاژ دانه ریحان، شاخص رفتار جریان افزایش یافت. همچنین با افزایش غذلت اسید، مقدار ویسکوزیته پلاستیک (مدل‌های بینگهام و کاسون) نمونه‌ها کاهش یافت. در مجموع، استفاده از موسیلاژ دانه ریحان در محصولات غذایی حاوی غذلت بالای اسیدهای آلی خوراکی مخصوصاً اسید مالیک توصیه نمی‌شود و غذلت بالای این اسید باعث کاهش ویسکوزیته و قوام محصولات حاوی این موسیلاژ می‌شوند.

نتیجه‌گیری

خصوصیات رئولوژیکی هیدروکلوفیدها به دلیل خواص ساختاری و بافتی که در مواد غذایی ایجاد می‌کنند، اهمیت زیادی دارد. در این پژوهش، تأثیر اسیدهای آلی خوراکی شامل آسکوربیک، سیتریک، مالیک و تارتاریک در دو غذلت ۰/۵ و ۱ درصد بر ویسکوزیته و پارامترهای رئولوژیکی محلول موسیلاژ دانه ریحان مورد بررسی قرار گرفت. محلول‌های ۰/۲ درصد موسیلاژ دانه ریحان (شاهد و نمونه‌های حاوی اسید) رفتار سودوپلاستیکی از خود نشان دادند و با افزایش سرعت برخشی، ویسکوزیته محلول‌ها افزایش درصد اسیدهای آلی، ویسکوزیته محلول‌ها کاهش یافت و بیشترین کاهش ویسکوزیته مربوط به اسید مالیک ۱ درصد بود. معادلات مختلفی برای برآش داده‌های رئولوژیکی استفاده شد و مشاهده شد

تشکر و قدردانی

دانشگاه بولنی سینا از این پژوهش، قدردانی می‌کنیم.

از حمایت مالی و معنوی معاونت محترم پژوهشی

References

1. Yildiz, F. 2010. Food acids: Organic acids, volatile organic acids, and phenolic acids, in: F. Yildiz (Ed.) *Advances in Food Biochemistry*, CRC Press, Boca Raton, pp. 28.
2. Nour, V., Trandafir, I., Ionica, M.E. 2010. HPLC organic acid analysis in different citrus juices under reversed phase conditions, *Notulae Botanicae Horti Agrobotanici Cluj-Napoca*. 38: 44-48.
3. Karadeniz, F. 2004. Main organic acid distribution of authentic citrus juices in Turkey, *Turkish Journal of Agriculture and Forestry*. 28: 267-271.
4. Nyysönen, K., Salonen, J.T., Parviainen, M.T. 2000 Ascorbic acid, in: *Modern chromatographic analysis of vitamins*, CRC Press, pp. 259-286.
5. Lo Scalzo, R. 2008. Organic acids influence on DPPH scavenging by ascorbic acid, *Food Chemistry*. 107: 40-43.
6. Tao, Q., Zhao, J., Li, J., Liu, Y., Luo, J., Yuan, S., Li, B., Li, Q., Xu, Q., Yu, X., Huang, H., Li, T., Wang, C. 2020. Unique root exudate tartaric acid enhanced cadmium mobilization and uptake in Cd-hyperaccumulator *Sedum alfredii*, *Journal of Hazardous materials*. 383: 121177.
7. Yao, S., Wang, B.-J., Weng, Y.-M. 2022. Preparation and characterization of mung bean starch edible films using citric acid as cross-linking agent, *Food Packaging and Shelf Life*. 32: 100845.
8. Wang, H., Li, W., Gong, Y., Xu, Y., Luo, S., Hu, X., Liu, C. 2024. The effect of organic acids on high-moisture extrusion of soy protein isolate: Comparison between monocarboxylic acid and polycarboxylic acids, *Food Bioscience*. 58: 103664.
9. Mani-López, E., García, H.S., López-Malo, A. 2012. Organic acids as antimicrobials to control *Salmonella* in meat and poultry products, *Food Research International*. 45: 713-721.
10. Savani, P., Puthiyedath, A., Chandran K, R., George, S., Prasad, P.S., Annapure, U.S. 2023. Evaluation of the sensory properties and antioxidant activity of clean rosemary extracts for an effective replacement of EDTA in Mayonnaise, *Applied Food Research*. 3: 100302.
11. Zhou, T., Feng, Y., Chen, Y., Zhao, M. 2023. Quantitative studies, taste recombination, and omission experiments on the key taste compounds in Chinese and Japanese soy sauce, *Food Chemistry*. 403: 134215.
12. Jo, W., Bak, J.H., Yoo, B. 2018. Rheological characterizations of concentrated binary gum mixtures with xanthan gum and galactomannans, *International Journal of Biological Macromolecules*. 114: 263-269.
13. Ozgur, A., Dogan, M., Karaman, S. 2017. Rheological interactions of the xanthan gum and carboxymethyl cellulose as alternative to pectin in organic acid-sucrose model system: simplex lattice mixture design approach, *European Food Research and Technology*. 243: 1041-1056.
14. Nor Hayati, I., Wai Ching, C., Rozaini, M.Z.H. 2016. Flow properties of o/w emulsions as affected by xanthan gum, guar gum and carboxymethyl cellulose interactions studied by a mixture regression modelling, *Food Hydrocolloids*. 53: 199-208.
15. Hayta, M., Dogan, M., Aslan Türker, D. 2020. Rheology and microstructure of galactomannan-xanthan gum systems at different pH values, *Journal of Food Process Engineering*. 43: e13573.
16. Salehi, F. 2020. Effect of common and new gums on the quality, physical, and textural properties of bakery products: A review, *Journal of Texture Studies*. 51: 361-370.
17. Kang, J., Yue, H., Li, X., He, C., Li, Q., Cheng, L., Zhang, J., Liu, Y., Wang, S., Guo, Q. 2023. Structural, rheological and functional properties of ultrasonic treated xanthan gums, *International Journal of Biological Macromolecules*. 246: 125650.

18. Salehi, F., Inanloodoghous, M. 2023. Rheological properties and color indexes of ultrasonic treated aqueous solutions of basil, Lallemandia, and wild sage gums, International Journal of Biological Macromolecules. 253: 127828.
19. Mirabolhassani, S.E., Rafe, A., Razavi, S.M.A. 2016. The influence of temperature, sucrose and lactose on dilute solution properties of basil (*Ocimum basilicum*) seed gum, International Journal of Biological Macromolecules. 93: 623-629.
20. Xu, X., Liu, W., Zhang, L. 2006. Rheological behavior of Aeromonas gum in aqueous solutions, Food Hydrocolloids. 20: 723-729.
21. Brenelli, S., Campos, S., Saad, M. 1997. Viscosity of gums in vitro and their ability to reduce postprandial hyperglycemia in normal subjects, Brazilian Journal of Medical and Biological Research. 30: 1437-1440.
22. Medina-Torres, L., Brito-De La Fuente, E., Torrestiana-Sanchez, B., Katthain, R. 2000. Rheological properties of the mucilage gum (*Opuntia ficus indica*), Food Hydrocolloids. 14: 417-424.
23. Martins, D., Dourado, F., Gama, M. 2023. Effect of ionic strength, pH and temperature on the behaviour of re-dispersed BC:CMC - A comparative study with xanthan gum, Food Hydrocolloids. 135: 108163.
24. Bak, J., Yoo, B. 2023. Rheological characteristics of concentrated ternary gum mixtures with xanthan gum, guar gum, and carboxymethyl cellulose: Effect of NaCl, sucrose, pH, and temperature, International Journal of Biological Macromolecules. 253: 126559.
25. Salehi, F., Satorabi, M. 2021. Effect of basil seed and xanthan gums coating on colour and surface change kinetics of peach slices during infrared drying, Acta Technologica Agriculturae. 24: 150-156.
26. Salehi, F., Razavi Kamran, H., Goharpour, K. 2023. Production and evaluation of total phenolics, antioxidant activity, viscosity, color, and sensory attributes of quince tea infusion: Effects of drying method, sonication, and brewing process, Ultrasonics Sonochemistry. 99: 106591.
27. Salehi, F., Inanloodoghous, M. 2024. Effects of ultrasonic intensity and time on rheological properties of different concentrations of xanthan gum solution, International Journal of Biological Macromolecules. 263: 130456.
28. Farahnaky, A., Shanesazzadeh, E., Mesbahi, G., Majzoobi, M. 2013. Effect of various salts and pH condition on rheological properties of *Salvia macrosiphon* hydrocolloid solutions, Journal of Food Engineering. 116: 782-788.
29. Rafe, A., Razavi, S.M.A. 2013. The effect of pH and calcium ion on rheological behaviour of β -lactoglobulin-basil seed gum mixed gels, International Journal of Food Science & Technology. 48: 1924-1931.
30. Nsengiyumva, E.M., Alexandridis, P. 2022. Xanthan gum in aqueous solutions: Fundamentals and applications, International Journal of Biological Macromolecules. 216: 583-604.
31. Amin, A.M., Ahmad, A.S., Yin, Y.Y., Yahya, N., Ibrahim, N. 2007. Extraction, purification and characterization of durian (*Durio zibethinus*) seed gum, Food Hydrocolloids. 21: 273-279.